#### НАНОМАТЕРИАЛЫ И НАНОТЕХНОЛОГИИ

УДК 544.723

# ВЛИЯНИЕ УСЛОВИЙ СИНТЕЗА НА СТРУКТУРНЫЕ ХАРАКТЕРИСТИКИ ОКСИДНЫХ НАНОКОМПОЗИТОВ $NiO/SiO_2$

В.М. Богатырев $^1$ , Л.И. Борисенко $^1$ , Е.И. Оранская $^1$ , В.М. Гунько $^1$ , Р. Лебода $^2$ , Я. Скубишевска-Зиемба $^2$ 

<sup>1</sup>Институт химии поверхности им. А.А. Чуйко Национальной академии наук Украины, ул. Генерала Наумова, 17, Киев, 03164, Украина

<sup>2</sup>Faculty of Chemistry, Maria Curie-Skłodowska University, 20031 Lublin, Poland

Исследовано влияние способа получения нанокомпозитов  $NiO/SiO_2$  (прекурсор — ацетат никеля) на их структурные и текстурные характеристики в зависимости от содержания NiO и источника  $SiO_2$ . Установлено образование кристаллической и рентгеноаморфной форм NiO в зависимости от условий синтеза. Показано, что структурные характеристики  $NiO/SiO_2$  в большей степени зависят от метода получения, чем содержания NiO. Нанокомпозиты на основе пирогенного кремнезема в основном мезопористые, а образцы на основе  $T\ThetaC$  — микропористые.

#### Введение

Двойные оксидные системы, основным компонентом которых является SiO<sub>2</sub>, представлены широкой гаммой природных минералов и синтетических материалов, занимающих важное место в многочисленных производственных применениях. Химическое модифицирование поверхности кремнезема, развитое акад. НАН Украины А.А Чуйко с соавт., и совместный высокотемпературный гидролиз паров SiCl<sub>4</sub> и TiCl<sub>4</sub>, были использованы для создания высокодисперсных двойных оксидных систем TiO<sub>2</sub>/SiO<sub>2</sub> [1–4]. На базе Калушского опытного завода под научным руководством А.А Чуйко было организовано опытно-промышленное производство титансодержащих кремнеземов методом пирогенного синтеза (марка TAC-7, ТУ 88 УССР 231-01-84). Это неоспоримое доказательство, что еще три десятилетия назад были созданы сложные нанооксиды, широкомасштабные исследования и синтез которых рассматриваются как одно из приоритетных нанотехнологических направлений в мире.

Научные интересы А.А. Чуйко распространялись на химическое модифицирования поверхности кремнезема и исследование свойств двойных оксидных систем с соединениями хрома [5, 6], фосфора [7, 8], вольфрама [9, 10], бора [11, 12] и молибдена [13, 14]. Данная работа, связанная с изучением нанокомпозита NiO/SiO<sub>2</sub>, является развитием общего научного направления по синтезу и исследованию высокодисперсных двойных оксидных систем на основе кремнезема.

Системы  $NiO/SiO_2$  ввиду своей эффективности и дешевизны привлекают внимание для каталитического окисления органических загрязнителей окружающий среды [15], как самостоятельный катализатор и как предшественник катализатора  $Ni/SiO_2$  с металлическим никелем для парциального окисления метана в CO и  $H_2$  [16, 17] и в реакции дегидрогенизации метанола [18]. На каталитическую активность нанесенного на  $SiO_2$  катализатора влияет количество NiO, природа прекурсора NiO, условия подготовки и методы приготовления оксидной композиции [19]. Важными

практическими приложениями дисперсных материалов и пленок состава  $NiO/SiO_2$  могут быть функционализованные адсорбенты и сенсоры. Нанокомпозитные тонкие пленки  $NiO/SiO_2$  могут работать как оптические детекторы для некоторых газов благодаря сохранению пористости при отжиге пленок до  $800\,^{\circ}C$  [20]. Возможно получение цветных золь-гель стекол и пленок с частицами NiO [21, 22].

Цель данной работы состояла в изучении влияния условий синтеза на структурные характеристики двойной оксидной системы  $NiO/SiO_2$  при использовании ацетата никеля (AцH)  $Ni(CH_3COO)_2\cdot 4H_2O$  в качестве источника формирования NiO. При изготовлении образцов нанокомпозитов варьировали содержание NiO, источник  $SiO_2$  и метод синтеза.

#### Экспериментальная часть

Основными компонентами рецептуры для синтеза образцов были использованы пирогенный кремнезем марки Аэросил A-380 (Degussa), тетраэтоксисилан (ТЭОС) марки  $Si(OC_2H_5)_4$ «осч» ТУ 6-09-5230-85 И ацетат никеля тетрагидрат Ni(CH<sub>3</sub>COO)<sub>2</sub>·4H<sub>2</sub>O «Ч» ТУ 6-09-3848-87. Вспомогательные компоненты: тетраэтиленпентамин (ТЭПА) «tech. grade» «Dow Chemical Corp.», этилендиамин (ЭДА) CAS # 000107-15-3 «Dow Chemical Corp.», касторовое масло «фарм.» («Галичина», Украина) и поливинилпирролидон (ПВП) медицинский («Синтвита», Россия) со средней молекулярной 10700. массой Для приготовления дисперсий использовали дистиллированную воду и изопропиловый спирт (ИПС) «хч» ТУ 6-09-402-87.

В работе синтезировали три серии образцов NiO/SiO<sub>2</sub>. Первая серия получена путем приготовления водной дисперсии АцН и пирогенного кремнезема A-380 с различным соотношением компонентов. Содержание АцН составило 0,2, 0,5, 1,0, 2,0 и 3,0 ммоль на 1 г SiO<sub>2</sub>. Обозначение образцов этой серии соответствует содержанию никеля – 02Ni, 05Ni, 1Ni, 2Ni и 3Ni. Синтез образцов проводили в несколько стадий. На первой стадии готовили гомогенную дисперсию кремнезема в водном растворе АцН с использованием пропеллерной мешалки «EUROSTAR power-b» при 500 об/мин. Вторая стадия включала высушивание дисперсии в слое толщиной 4–7 мм при температуре 130 °C в течение 5 ч. Далее ксерогель измельчали в фарфоровой ступке и просеивали через сито с ячейкой 0,5 мм. На последней, третьей стадии синтеза порошки прокаливали 2 ч при 600 °C на воздухе. Исходный кремнезем А-380, использованный для контрольных измерений (SiO<sub>2</sub>-к), предварительно подвергали обработке по всем стадиям получения нанокомпозита в отсутствие АцН (гомогенизация водной дисперсии, сушка, измельчение, просеивание и прокаливание).

Вторую серию образцов готовили с использованием ТЭОС в качестве источника  $SiO_2$ . Содержание АцН составляло 0,2, 1,0 и 3,0 ммоль в расчете на 1 г  $SiO_2$ . Обозначение образцов второй серии также соответствует содержанию никеля – SG-02Ni, SG-1Ni и SG-3Ni. На первой стадии синтеза расчетное количество АцН растворяли в смеси 20 мл ИПС, 2 мл  $H_2O$  и 2 мл ТЭПА. Для образца SG-3Ni использовали 4 мл ТЭПА. Полученные прозрачные растворы имели фиолетовый цвет различной интенсивности в соответствии с содержанием никеля. На второй стадии к раствору никеля при непрерывном перемешивании магнитной мешалкой добавляли 8 мл ТЭОС. В течение нескольких минут начинала образовываться непрозрачная дисперсия, которая через 0,5–2 ч формировалась в нетекучую массу. На третьей стадии образцы сушили 6 ч при 110~°С и растирали в порошок. Далее, на четвертой стадии происходило образование оксидной системы  $NiO/SiO_2$  в процессе прокаливания при 700~°С в течение 1~ в муфельном шкафу. Контрольный образец во второй серии ( $SG-SiO_2$ ) получен по указанным стадиям, но 663~ АцН.

Третью серию образцов получали из ТЭОС с равным содержанием никеля в количестве 1 ммоль/г  $SiO_2$ . Образцы SG-1Ni-е и SG-1Ni-р были получены по схеме образца SG-1Ni. Однако, при синтезе SG-1Ni-е в начальный раствор АцН дополнительно было введено 1,9 г касторового масла. Образец SG-1Ni-р получали, используя для приготовления начального раствора ацетата никеля 20 мл 0,1 М раствора ПВП в ИПС и 3 мл 10 %-ного водного раствора ДЭА. Образцы сушили 4 ч при 140 °C.

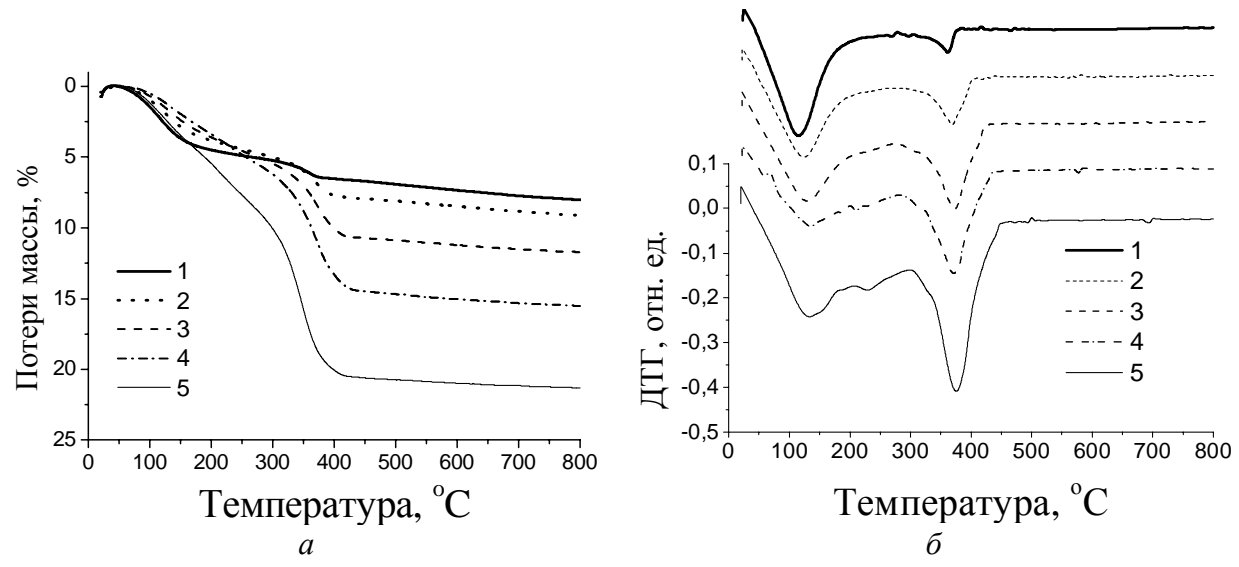
Термоокислительную деструкцию образцов, отобранных в процессе синтеза на промежуточных стадиях после высушивания при 110– $140\,^{\circ}$ C, исследовали методом термогравиметрии с использованием дериватографа марки «Q-1500D» («МОМ», Венгрия) с системой компьютерной регистрации данных.

Рентгенофазовый анализ (РФА) проводили методом порошковой дифрактометрии. Дифрактограммы образцов регистрировали на дифрактометре ДРОН-4-07 (ПО «Буревестник», Россия) в излучении  $CuK_{\alpha}$  линии анода с Ni фильтром в отраженном пучке и геометрии съемки по Брэггу–Брентано. Средний размер кристаллитов рассчитывали по уравнению Шеррера [23].

Структурно-адсорбционные характеристики определяли по результатам измерений низкотемпературной адсорбции азота на приборе ASAP 2405N (Micromeritics, США).

#### Результаты и их обсуждение

При синтезе  $NiO/SiO_2$  использованы органические компоненты, которые разрушались в процессе термоокислительной деструкции при температурах 600-700 °C на воздухе. Оптимальные параметры проведения термической обработки определены по результатам термогравиметрических измерений. Для исследования отобраны пробы на промежуточных стадиях синтеза после высушивания образцов при 110-140 °C. На рис. 1 представлены результаты исследования образцов первой серии.

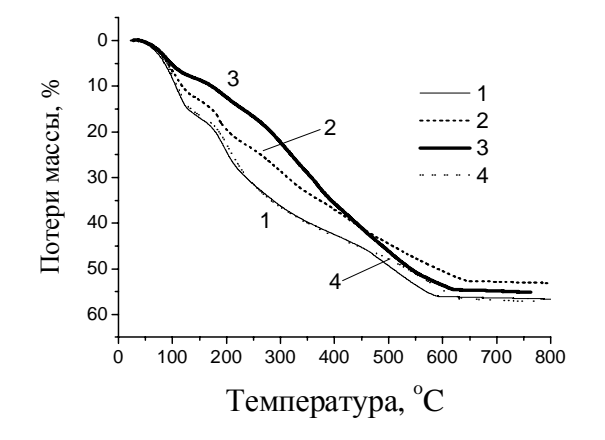


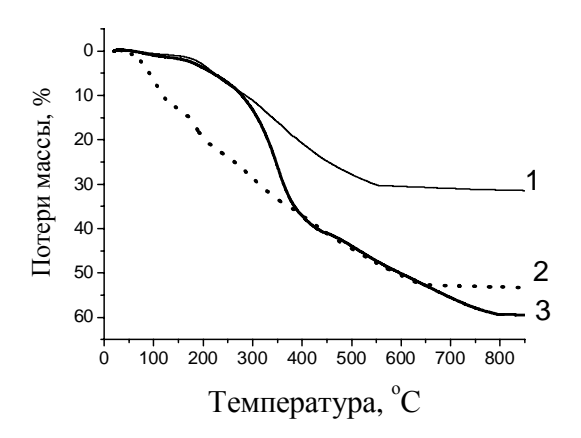
**Рис. 1.** Кривые ТГ (*a*) и ДТГ (*б*) образцов кремнезема A-380 с адсорбированным ацетатом никеля: 02Ni (1), 05Ni (2), 1Ni (3), 2Ni (4) и 3Ni (5).

Потери массы в образцах возрастают при переходе от 02Ni до 3Ni согласовано с увеличением содержания АцH за счет удаления ацетатных групп. На кривых ДТГ пик в области  $100{\text -}120~^\circ\text{C}$  относится к удалению адсорбированной воды, а потери массы в области  $215{\text -}600~^\circ\text{C}$  ( $T_{\text{макс}}=380~^\circ\text{C}$ ) связаны с разложением и удалением ацетатных групп [24]. Интересно, что наблюдается антибатность в потерях массы для физически сорбированной воды и ацетатных групп для образцов 02Ni-2Ni. Это согласуется с

результатами исследований адсорбционных комплексов ацетатов металлов поверхности пирогенного кремнезема методом Фурье-ИКС, указывающими затруднение физсорбции воды с возрастанием содержания адсорбированных ацетатов металлов [24].

На рис. 2 и рис. 3 приведены потери массы в полупродуктах образцов, полученных на основе ТЭОС. Полученные данные показывают, что во второй серии количество ацетата никеля в начальном растворе не влияет на потери массы при образцов-предшественников нанокомпозитов NiO/SiO<sub>2</sub>. существенно отличается от термоокислительной деструкции ацетатов никеля, адсорбированных на пирогенном кремнеземе. На рис. 2 наблюдается практически полное совпадение кривых ТГ для контрольного образца SG-SiO<sub>2</sub> и образца с наименьшим содержанием никеля SG-02Ni. Вне зависимости от начального содержания АцН в дисперсии конечные потери массы для всех образцов весьма близки. В этом случае основным фактором, влияющим на потери массы, может быть содержание ТЭОС и ТЭПА. Такое различие в характере потери массы для первой и второй серии образцов можно объяснить разрушением ацетата никеля при образовании аминокомплексов Ni с ТЕПА и удалением ацетатных групп в процессе сушки при 110 °C.





использованием ТЭОС: SG-Ni02 (1), SG-Ni1 (2), SG-Ni3 (3) и SG-SiO<sub>2</sub> (4).

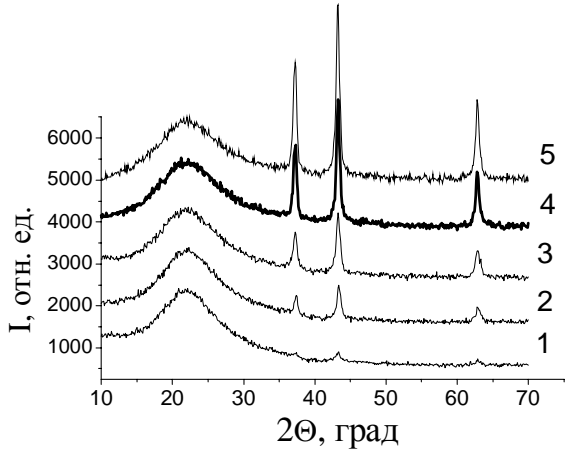
Рис. 2. Кривые ТГ образцов, полученных с Рис. 3. Кривые ТГ образцов с равным содержанием ацетата никеля, полученных использованием ТЭОС и дополнительных компонентов: SG-Ni1-р (1), SG-Ni1 (2), SG-Ni1-e (3).

Введение дополнительных компонентов в раствор ацетата никеля использовании ТЭОС также вносит изменения в потери массы, соответственно использованным добавкам (рис. 3).

Термогравиметрические данные показывают полную деструкцию органических компонентов соединений-предшественников оксидных нанокомпозитов температурах 600-700 °C. В результате полного разрушения органической части в условиях окислительной атмосферы воздуха формируется оксидная система NiO/SiO<sub>2</sub>, состоящая из нанокристаллических частиц NiO и аморфного SiO<sub>2</sub>. Структурные характеристики нанокомпозитов в части определения фазового состава оценивали методом РФА. Дифрактограммы всех образцов NiO/SiO<sub>2</sub> приведены на рис. 4–6.

Для всех образцов нанокомпозитов характерно сохранение кремнеземной компоненты в аморфном состоянии, тогда как для оксида никеля наблюдаются изменения размеров нанокристалитов NiO и степени кристалличности в зависимости от метода получения образцов и температуры термообработки.

Все образцы, синтезированные на основе пирогенного кремнезема А-380, сохраняют одинаковые размеры нанокристаллитов вне зависимости от содержания никеля в образце. В нанокомпозитах на основе ТЭОС наблюдается увеличение среднего размера кристаллитов, согласованное с увеличением содержания никеля (табл. 1). Существенное влияние на формирование кристаллитов NiO оказывает начальное состояние соединений никеля в составе соединений-предшественников оксидных нанокомпозитов. Дополнительное введение в состав начальной композиции ПВП способствует, по нашему мнению, образованию комплексных соединений Ni с полимером. Можно представить, что продукты термоокислительной деструкции полимерной матрицы затрудняют миграцию атомов никеля и формирование кристаллитов. Для образца SG-1Ni-p, синтезированного с ПВП, наблюдается настолько незначительный пик NiO, что невозможно корректно определить размер кристаллитов (рис. 6, табл. 2).



6000 5000 4000 2000 1000 10 20 30 40 50 60 70 2Θ, град

**Рис. 4.** Дифрактограммы образцов первой серии NiO/SiO<sub>2</sub> с различным содержанием никеля, полученных термолизом ацетата Ni, адсорбированного на кремнеземе A-380: 02Ni (1), 05Ni (2), 1Ni (3), 2Ni (4) и 3Ni (5).

**Рис. 5.** Дифрактограммы образцов второй серии NiO/SiO<sub>2</sub>, полученных из ТЭОС с различным содержанием никеля: SG-02Ni (1), SG-1Ni (2), SG-3Ni (3) и SG-SiO<sub>2</sub> (4).

**Таблица 1.** Средний размер кристаллитов и степень кристалличности NiO в нанокомпозитах на основе A-380

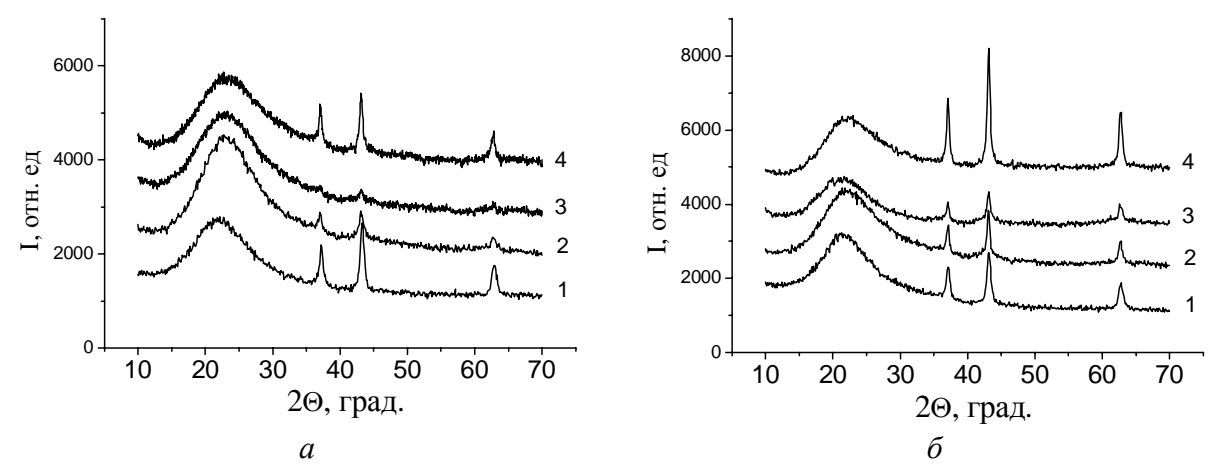
Образец	Средний размер	Степень кристалличности		
	кристаллитов NiO, нм	NiO, W, %		
02Ni	14	27		
05Ni	14	63		
1Ni	14	64		
2Ni	14	73		
3Ni	14	78		
SG-02Ni	-	0		
SG-1Ni	15	31		
SG-3Ni	21	69		

В формировании нанокристаллитов NiO принимает участие не весь оксид никеля, распределенный в кремнеземной матрице, т.е. часть NiO находится в рентгеноаморфном

состоянии. Результаты определения степени кристалличности NiO приведены в табл. 1 и 2.

Степень кристалличности определяли по отношению интегральных интенсивностей основного пика NiO (200) при  $2\theta = 43.2^{\circ}$  на дифрактограммах исследуемого образца и соответствующей механической смеси пирогенного кремнезема и кристаллического NiO, полученного прокаливанием AцH при  $800^{\circ}$ C в течение 2 ч на воздухе.

Для нанокомпозитов на основе A-380 степень кристалличности NiO существенно изменяется от 27 до 64 % только при малых степенях заполнения кремнеземной матрицы оксидом никеля от 0,2 до 0,5 ммоль/г  $SiO_2$ . Для нанокомпозитов второй серии на основе ТЭОС наблюдаются существенное различие, как в степени кристалличности, так и в размерах нанокристаллитов NiO с увеличением содержания никеля в образцах. Текстурная пористость пирогенного кремнезема (т.е. пустоты между первичными непористыми частицами  $SiO_2$  в агрегатах) и количество центров кристаллизации определяет размер кристаллитов NiO. При формировании частиц  $SiO_2$  из ТЭОС в присутствии соединений никеля взаимовлияние компонентов носит более сложный характер, что и отражается в более значительных изменениях размеров кристаллитов и степени кристалличности NiO.



**Рис. 6.** Дифрактограммы нанокомпозитов NiO/SiO<sub>2</sub>, полученных термоокислительной деструкцией при 600-700 °C (*a*) и после дериватографических измерений (*б*): 1Ni (1), SG-1Ni (2), SG-1Ni-p (3) и SG-1Ni-e (4).

**Таблица 2.** Средний размер кристаллитов и степень кристалличности NiO в образцах с равным содержанием никеля в зависимости от температуры обработки

Образец	Температура	Средний размер	Степень	
	обработки, °С	кристаллитов, нм	кристалличности	
			NiO, W, %	
1Ni	600	15	64	
	1000	15	67	
SG-1Ni	600	15	31	
	1000	20	46	
SG-1Ni-p	700	-	11	
-	850	15	37	
SG-1Ni-e	700	18	53	
	850	18	95	

На рис. 6 и в табл. 2 на примере образцов нанокомпозитов с равным содержанием никеля показано влияние температуры отжига оксидных систем  $NiO/SiO_2$ , полученных в разных условиях. Следует отметить, что температурная обработка образцов проходила в

различных временных условиях. Термоокислительную деструкцию при 600–700 °C проводили в течение 1–2 ч. Температурную обработку до 850–1000 °C проводили в режиме программированного нагрева образцов со скоростью 10 град/мин при проведении дериватографических исследований.

Приведенные данные подтверждают предположение, что именно структура кремнеземной матрицы оказывает значительное влияние на размер частиц и степень кристалличности оксида никеля. Для кремнезема A-380, который уже прошел высокотемпературную обработку в процессе синтеза, изменения в структуре кристаллитов NiO незначительны. Для образцов на основе ТЭОС термообработка оказывает существенное влияние на структурные характеристики SiO<sub>2</sub>, что отражается и на более значительных изменениях в размере кристаллитов NiO и степени кристалличности. Большее количество аморфной составляющей оксида никеля в образцах на основе ТЭОС позволяет предположить, что аморфная компонента NiO стабилизируется в матрице аморфного SiO<sub>2</sub>. Это согласуется с тем, что при малых количествах никеля в присутствии пирогенного кремнезема A-380 доля аморфного оксида никеля выше доли кристаллического (образец 02Ni).

Необходимо отметить, что при температурно-программированном восстановлении оксидной системы  $NiO/SiO_2$ , полученной золь-гель методом из ТЭОС, наблюдается два пика восстановления оксида никеля при  $T_{\text{макс}}$  443 °C и 672 °C [25, 26]. Подобные результаты, но при иных температурах – 307 °C и 459 °C, получены в [17]. Авторы отнесли эти пики к двум формам NiO в оксидной системе. Низкотемпературный пик приписан восстановлению оксида Ni в состоянии индивидуального соединения, а второй пик – оксиду никеля, находящемуся в близком контакте с поверхностью  $SiO_2$ . Это полностью согласуется с нашими результатами о присутствии нанокристаллической и аморфной формы NiO, которая находится вблизи поверхности аморфного кремнезема.

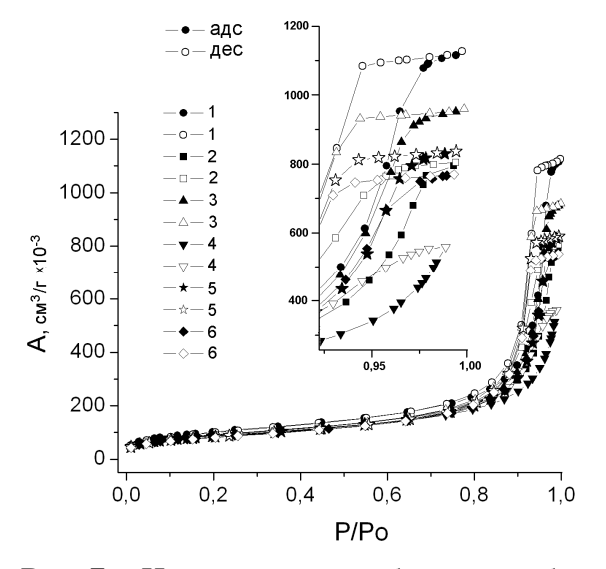
Структурно-адсорбционные характеристики оксидных нанокомпозитов рассчитывали по низкотемпературным изотермам адсорбции—десорбции азота. Общий объем пор оценивали по объему азота, адсорбированного при  $p/p_o \approx 0.98...0.99$ . Распределение пор по размерам (РПР) рассчитывали по данным десорбции азота. Для наглядного представления РПР функцию f(R) пересчитывали в инкрементальное РПР (ИРПР) [27].

На рис. 7 и 8 приведены изотермы адсорбции—десорбции азота для образцов трех серий. Структурно-адсорбционные характеристики образцов (табл. 3), синтезированных на основе пирогенного кремнезема, демонстрируют закономерное уменьшение удельной поверхности с ростом содержания оксида Ni. Основные изменения  $V_{\text{пор}}$  этой серии наблюдаются только в области мезопор. Разброс значений  $V_{\text{мезо}}$  может означать, что формирование частиц NiO происходит не только внутри агрегатов первичных частиц  $SiO_2$ , уменьшая размеры мезопор, но и на внешней поверхности агрегатов, создавая новые мезопоры в результате уплотнения агломератов агрегатов. Наименьшее значение  $V_{\text{пор}}$  в синтезированных образцах первой серии наблюдается у образца 1Ni, а наибольшее — у 05Ni (табл. 3).

Иная картина наблюдается для образцов полученных из ТЭОС. Изотермы адсорбции—десорбции азота показывают преимущественно микропористый характер образцов (рис. 8). Изменение удельной поверхности  $S_{\rm БЭТ}$  носит нелинейных характер с максимальным значением для образца SG-1Ni 544 м²/г (табл. 3). Объем мезопор на порядок меньше, а объем микропор на три порядка больше, чем в нанокомпозитах на основе A-380. Макропористость практически отсутствует.

Введение добавок при синтезе третьей серии образцов использовали для изменения морфологии при одинаковом содержании ацетата никеля в исходных растворах. Известно, что на самоорганизацию смесей неорганических и органических

фаз в условиях золь-гель синтеза оказывают влияние катионоактивные и неионогенные ПАВ, двойные и тройные блоксополимеры, имеющие амфифильный характер, а также органические соединения других классов, не относящиеся к указанным ПАВ [28]. В нашей работе использовано два типа органических соединений. В одном случае это ПВП, имеющий карбонильные группы С=О и способный образовывать многочисленные водородные связи с силанольными группами продуктов гидролиза ТЭОС и комплексы с солями металлов [29–31]. В другом случае – касторовое масло, представляющее собой смесь глицеридов органических кислот (80-90 % рицинолевой кислоты) [32]. Этот компонент выбран как темплат для образования пор по ориентировочной величине молекулярной массы касторового масла и по его растворимости в компонентах использованной рецептуры. В расчете на 100 % рицинолевой кислоты М=984, 5.



180 160 140 cm<sup>3</sup>/r x10<sup>-3</sup> 120 100 80 Æ 60 6 40 адс 6 20 дес 0,2 8,0 1,0 0,0 0.4 0,6 P/Po

азота образцами NiO/SiO<sub>2</sub> на основе пирогенного кремнезема A-380:  $SiO_2$ -k (1), 02Ni (2), 05Ni (3), 1Ni (4), 2Ni (5) и 3Ni (6).

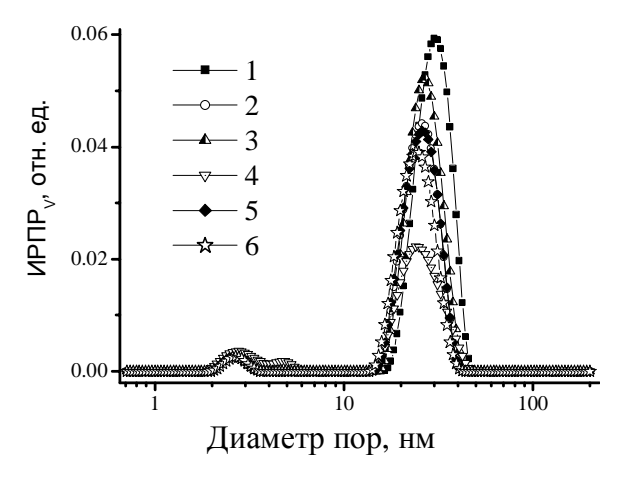
Рис. 7. Изотермы адсорбции-десорбции Рис. 8. Изотермы адсорбции-десорбции азота образцами NiO/SiO<sub>2</sub> на основе ТЭОС: SG-SiO<sub>2</sub> (1); SG-02Ni (2); SG-1Ni (3); SG-3Ni (4); SG-1Ni-р (5) и SG-1Ni-e (6).

Таблица 3. Структурно-адсорбционные характеристики синтезированных оксидных нанокомпозитов NiO/SiO<sub>2</sub>

Образцы	$S_{E \ni T}$ ,	$S_{\text{микро}}$ ,	$S_{\text{me30}}$ ,	$S_{\text{макро}}$ ,	$V_{\text{nop}}$ ,	$V_{\text{микро}}$	V <sub>me30</sub> ,	V <sub>макро</sub> ,
	${\rm m}^2/\Gamma$	$M^2/\Gamma$	${ m m}^2/\Gamma$	$M^2/\Gamma$	$cm^3/\Gamma$	$cm^3/\Gamma$	$cm^3/\Gamma$	$cm^3/\Gamma$
SiO <sub>2</sub> -к	367	1	366	0	1,743	0,001	1,742	0,000
02Ni	329	2	327	0	1,294	0,001	1,293	0,000
05Ni	330	2	327	0	1,485	0,001	1,484	0,000
1Ni	314	8	306	0	0,865	0,004	0,860	0,001
2Ni	307	2	305	0	1,294	0,001	1,293	0,000
3Ni	296	1	295	0	1,191	0,000	1,191	0,000
$SG-SiO_2$	483	356	127	0	0,247	0,135	0,102	0,010
SG-02Ni	500	369	131	0	0,242	0,132	0,100	0,010
SG-1Ni	544	401	143	0	0,268	0,146	0,111	0,011
SG-3Ni	443	327	116	0	0,225	0,123	0,093	0,009
SG-1Ni-p	224	185	39	0	0,111	0,077	0,035	0,005
SG-1Ni-e	466	285	180	1	0,280	0,103	0,161	0,016

Наибольшее влияние на структурно-адсорбционные свойства NiO/SiO<sub>2</sub> в третьей серии оказывает ПВП (образец SG-1Ni-p). Удельная поверхность образца уменьшается вдвое, по сравнению с SG-1Ni, за счет уменьшения объема микропор и мезопор. Для образца SG-1Ni-е происходит перераспределение пористости при сохранении общего объема пор  $V_{\text{пор}}$ . Уменьшение  $V_{\text{микро}}$  сопровождается увеличением  $V_{\text{мезо}}$  и  $V_{\text{макро}}$  в ~ 1,5 раза (табл. 3), что приводит к снижению удельной поверхности до 466 м²/г, в сравнении с образцом SG-1Ni без добавок.

Нанокомпозиты на основе пирогенного кремнезема A-380 характеризуются распределением пор по размерам и области 8–33 нм с максимумами при 10–20 нм (рис. 9). Для образцов второй и третьей серии на основе ТЭОС диаметр пор для всех нанокомпозитов находится в интервале 0,7–5,0 нм с максимумами в области  $\sim 2$  нм (рис. 10).



0.006 HE 0.004 0.002 0.002 0.000 1 10 100

**Рис. 9.** Распределение пор по размерам в образцах  $NiO/SiO_2$ , полученных термоокислительной деструкцией ацетата никеля, адсорбированного на пирогенном кремнеземе A-380:  $SiO_2$ -k (1), 02Ni (2), 05Ni (3), 1Ni (4), 2Ni (5) и 3Ni (6).

**Рис. 10.** Распределение пор по размерам в образцах NiO/SiO<sub>2</sub> на основе ТЭОС: SG-SiO<sub>2</sub> (1), SG-02Ni (2), SG-1Ni (3), SG-3Ni (4), SG-1Ni-p (5) и SG-1Ni-e (6).

Диаметр пор, нм

Результаты рентгенофазовых И адсорбционных исследований хорошо согласуются в оценке существования двух форм NiO в составе нанокомпозита – нанокристаллической и рентгеноаморфной. С одной стороны, высокая удельная поверхность образцов из ТЭОС обеспечивает большую область контакта поверхностью SiO<sub>2</sub>, что способствует увеличению доли аморфной составляющей. С другой стороны, присутствие соединений никеля в растворе при формировании способствовать непосредственному взаимодействию будет соединений Ni и Si. Особенно это выражено в образце SG-1Ni-р с использованием ПВП, где степень кристалличности наиболее низкая и достигает 37 % термообработке при 850 °C (табл. 2). Можно предположить, что часть NiO находится в толстых стенках этого образца с наименьшим объемом пор.

Для образца SG-1Ni-e, в котором возрос объем мезо- и макропор, при нагревании степень кристалличности составила 95 %. В этом случае частицы оксида никеля могут формироваться в мезо- и макропорах с наименьшим контактом с поверхностью  $SiO_2$ .

#### Выводы

Синтез NiO из AцH в системе  $NiO/SiO_2$  сопровождается образованием двух форм оксида никеля — кристаллической и рентгеноаморфной. На изменение структурных характеристик  $NiO/SiO_2$  большее влияние оказывает метод получения, чем содержание NiO.

Образование кристаллитов NiO на поверхности пирогенного кремнезема A-380 приводит к уменьшению удельной поверхности и нелинейному изменению пористости с увеличением количества оксида никеля.

В случае образцов  $NiO/SiO_2$  на основе ТЭОС изменения структурных характеристик носят нелинейный характер. Введение органических добавок при синтезе оказывает существенное влияние на структурные характеристики нанокомпозита как на пористость и величину удельной поверхности, так и на соотношение кристаллической и аморфной форм NiO.

Авторы благодарят УНТЦ (проект 4481), Евросоюз (Седьмая рамочная программа ЕС, FP7/2007-2013 и Международный обмен учеными грант № 230790) за финансовую поддержку.

#### Литература

- 1. Исследование процессов хемосорбции четырёххлористого титана поверхностью кремнезёма / А.А. Чуйко, В.А. Тертых, К.П. Казаков и др. // Адсорбция и адсорбенты. 1980. Вып. 6. С. 39 42.
- 2. Сушко Р.В., Воронин Е.Ф., Чуйко А.А. Исследование высокодисперсных смешанных оксидов  $SiO_2$ – $TiO_2$  // Журн. физ. химии. 1979. Т.53, №9. С. 2395–2396.
- 3. Структурные и электрофизические характеристики титаносодержащих диоксида кремния / В.И. Зарко, А.В. Гетте, Г.М. Козуб, А.А. Чуйко / Изв. АН СССР. Неорган. материалы. 1983. Т.19, №2. С. 239–241.
- 4. Изучение структурных превращений в титаносодержащих кремнезёмах / Р. В. Сушко, А.В. Гетте, И.Ф. Миронюк, А.А. Чуйко // Журн. прикл. химии. 1983. 56, № 6. С. 1230–1234.
- 5. Плюто Ю.В., Горлов Ю.И., Чуйко А.А. Изучение хемосорбции оксихлорида хрома на поверхности пирогенного кремнезема методом ИК-спектроскопии // Теорет. и эксперим. химия. 1983. Т. 19, № 4. С. 494–497.
- 6. Изучение методами ЭПР и масс-спектрометрии термовосстановления групп ≡SiOCrO<sub>2</sub>Cl на поверхности дисперсного кремнезема / Ю.В. Плюто, Ю.И. Горлов, В.А. Назаренко, А.А. Чуйко // Докл. АН УССР. Сер. В. − 1983. № 12. С. 37–39.
- 7. Деякі перетворення сполук фосфору у поверхневому шарі дисперсних кремнеземів / В.В. Павлов, В.А. Тьортих, О.О. Чуйко, В.М. Богатирьов // Доп. АН УРСР. Сер. Б. -1979. -№ 8. -C. 639–641.
- 8. Богатырев В. М., Чуйко А. А. Взаимодействие треххлористого фосфора с дегидратированным аэросилом на его поверхности // Укр. хим. журн. 1984. Т. 50, № 8. С. 831–835.
- 9. Бабич И.В., Плюто Ю.В., Чуйко А.А. Особенности хемосорбции WOCl₄ на поверхности дисперсного кремнезема // Докл. АН УССР. Сер. Б. 1987. № 4. С. 39–41.
- 10. Стан іонів вольфраму на поверхні дисперсного пірогенного кремнезему / І. В. Бабіч, А.А. Гоменюк, Ю.В. Плюто, О.О. Чуйко // Доп. АН УРСР. Сер. Б. 1988. № 1. С. 35–38.

- 11. Особенности образования алкилборатных групп на поверхности пирогенного кремнезема / В.А. Касперский, В.В. Павлов, В.Н. Плахотник, А.А. Чуйко // Докл. АН УССР. 1983.  $\mathbb{N}_2$  8. С. 33—35.
- 12. Касперский В.А., Брей В.В., Чуйко А.А. ИК спектроскопическое исследование гидролиза борсодержащих групп на поверхности кремнезема // Журн. прикл. спектроскопии. 1988. T. 49, № 3. C. 460-464.
- 13. Химические превращения в процессе взаимодействия MoOCl<sub>4</sub> с поверхностью дисперсного кремнезема / А.А. Гоменюк, И.В. Бабич, Ю.В. Плюто, А.А. Чуйко // Журн. физ. химии. 1990. Т. 64, N 6. С. 1662—1664.
- 14. Термическая устойчивость молибден—хлоридных групп на поверхности пирогенного кремнезема / А.А. Гоменюк, И.В. Бабич, Ю.В. Плюто, А.А. Чуйко // Журн. физ. химии. 1992. Т. 66, № 11. С. 2903—2906.
- 15. Heterogeneous catalytic activity of NiO-silica composites designated with cubic Pm3n cage nanostructures / Sh.A. El-Safty, Y. Kiyozumi, T. Hanaoka, F. Mizukami // Appl. Catal. B. 2008. V. 82. P. 169–179.
- 16. Partial oxidation of methane to CO and H<sub>2</sub> over nickel and/or cobalt containing ZrO<sub>2</sub>, ThO<sub>2</sub>, UO<sub>2</sub>, TiO<sub>2</sub> and SiO<sub>2</sub> catalysts / V.R. Choudhary, A.M. Rajput, B. Prabhakar, A.S. Mamman // Fuel. 1998. V. 77, N. 15. P. 1803–1807.
- 17. Diskin A.M., Cunningham R.H., Ormerod R.M. The oxidative chemistry of methane over supported nickel catalysts // Catal. Today. 1998. V. 46. P. 147–154.
- 18. Takezawa N., Iwasa N. Steam reforming and dehydrogenation of methanol: Difference in the catalytic functions of copper and group VIII metals // Catal. Today. 1997. V. 36. P. 45–56.
- 19. Deraz N.M., Selim M.M., Ramadan M. Processing and properties of nanocrystalline Ni and NiO catalysts // Mater. Chem. Phys. 2009. V. 113. P. 269–275.
- 20. Hernández–Torres J., Mendoza–Galván A. Formation of NiO–SiO<sub>2</sub> nanocomposite thin films by the sol–gel method // J. Non–Cryst. Solids. 2005. V. 351. P. 2029–2035.
- 21. Silica gels containing transition metal oxides / G. Encheva, B. Samuneva, P. Djambaski, E. Kashchieva, D. Paneva, I. Mitov // J. Non-Cryst. Solids. 2004. V. 345–346. P. 615–619.
- 22. Laczka M., Cholewa K. Chromium, cobalt, nickel and copper as pigments of sol-gel glasses // J. Alloys Compd. 1995. V. 218. P. 77–85.
- 23. Оранская Е.И., Горников Ю.И., Фесенко Т.В. Автоматизированная методика определения средних размеров кристаллитов поликристаллических твердых тел // Завод. лаб. -1994. Т. 60, № 1. -28 с.
- 24. Нанокомпозиты  $M_xO_y/SiO_2$  на основе ацетатов Ni. Mn, Cu, Zn, Mg / B.M. Богатырев, Л.И. Борисенко, Е.И. Оранская, М.В. Галабурда // Химия, физика и технология поверхности. 2009.— Вып. 15. С. 294–302.
- 25. Preparation and characterization of nickel based catalysts on silica, alumina and titania obtained by sol-gel method / G. Goncalves, M.K. Lenzi, O.A.A. Santos, L.M.M. Jorge // J. Non-Cryst. Solids. 2006. V. 352. P. 3697–3704.
- 26. Cobalt, nickel and ruthenium-silica based materials synthesized by the sol-gel method / G.G. Lenzi, M.K. Lenzi, M.L. Baesso, A.C. Bento, L.M.M. Jorge, O.A.A. Santos // J. Non-Cryst. Solids. 2008. V. 354. P. 4811–4815.
- 27. Гунько В.М., Туров В.В., Горбик П.П. Вода на межфазной границе. Киев: Наук. думка. 2009. 695 с.
- 28. К вопросу о самоорганизации смесей неорганической и органической фаз в условиях золь—гель синтеза / Б.Б. Троицкий, А.А. Бабин, М.А. Лопатин и др. // Изв. АН. Сер. хим. 2008. № 12. С. 2406–2409.

- 29. Structure of poly(vinylpyrrolidone)–silica hybrid / M. Toki, T.Y. Chow, T. Ohnaka et al. // Polym. Bull. 1992. V. 29, Iss. 6. P. 653–660.
- 30. Богатырев В.М., Борисенко Н.В., Покровский В.А. Термическая деструкция поливинилпирролидона на поверхности пирогенного кремнезема // Журн. прикл. химии. 2001. Т. 74, Вып. 5. С. 814–819.
- 31. Осипова Е.А. Водорастворимые комплексообразующие полимеры // Журн. СОЖ. 1999. № 8. С. 40–47.
- 32. Химическая энциклопедия. М: Большая Рос. энциклопедия. 1995. Т. 4. С. 192–195.

### ВПЛИВ УМОВ СИНТЕЗУ НА СТРУКТУРНІ XAPAKTEPИСТИКИ ОКСИДНИХ НАНОКОМПОЗИТІВ NiO/SiO<sub>2</sub>

## В.М. Богатирьов<sup>1</sup>, Л.І. Борисенко<sup>1</sup>, О.І. Оранська<sup>1</sup>, В.М. Гунько<sup>1</sup>, Р. Лебода<sup>2</sup>, Я. Скубішевська-Зіємба<sup>2</sup>

<sup>1</sup>Інститут хімії поверхні ім. О.О. Чуйка Національної академії наук України, вул. Генерала Наумова, 17, Київ, 03164, Україна <sup>2</sup>Faculty of Chemistry, Maria Curie-Skłodowska University, 20031 Lublin, Poland

Досліджено вплив способу одержання нанокомпозитів NiO/SiO<sub>2</sub> (прекурсор - ацетат нікелю) на їхні структурні та текстурні характеристики залежно від вмісту NiO та джерела SiO<sub>2</sub>. Встановлено утворення кристалічної і рентгеноаморфної форм NiO в залежності від умов синтезу. Показано, що структурні характеристики NiO/SiO<sub>2</sub> більшою мірою залежать від методу виготовлення, ніж вмісту NiO. Нанокомпозити на основі пірогенного кремнезему в основному мезопористі, а зразки на основі ТЕОС-мікропористі.

### EFFECT OF SYNTHESIS CONDITIONS ON THE STRUCTURAL CHARACTERISTICS OF NiO/SiO<sub>2</sub> OXIDE NANOCOMPOSITES

# V.M. Bogatyrov<sup>1</sup>, L.I. Borysenko<sup>1</sup>, O.I. Oranska<sup>1</sup>, V.M. Gun'ko<sup>1</sup>, R. Leboda<sup>2</sup>, J. Skubiszewska-Zięba<sup>2</sup>

<sup>1</sup>Chuiko Institute of Surface Chemistry, National Academy of Sciences of Ukraine, 17 General Naumov Str. Kyiv, 03164, Ukraine <sup>2</sup>Faculty of Chemistry, Maria Curie-Skłodowska University, Lublin, 20031, Poland

The effect of method of producing  $NiO/SiO_2$  nanocomposites (precursor - nickel acetate) on their structural and textural characteristics depending on the content of NiO and the source of  $SiO_2$ . The formation of crystalline and X-ray amorphous NiO form depending on synthesis conditions. It is shown that the structural characteristics of  $NiO/SiO_2$  mostly depend on the method of production rather than on the NiO content. Nanocomposites based on pyrogenic silica are mainly mesoporous whereas the samples based on TEOS are microporous.